

国立防災科学技術センター 王員 不下繁夫

## 1. まえがき

近年、深さ  $K_m$  に達する首都圏の厚い堆積層の振動挙動の解明が、この地域における構造物の長大化あるいは大型化に伴って必要とされようになってしまった。この厚い堆積層に起因する表面波の挙動に関する限りでは、観測記録と理論モデルとの組合せがすでに行われている。しかししながら、実体波の挙動に関する限りでは、深い地中における観測の困難さから、理論的な推定などは、ほとんどない。ここで、地表および基盤層内における加速度の同時観測記録を用いて、実体波による厚い堆積層の振動挙動について推定して結果を述べる。

## 2. 振動伝達関数のインパルス応答

基盤層内に垂直入射する S 波  $U_n$  に対して、地表観測波  $y_n$  および基盤層内観測波  $x_n$  は、各々次式となる。

$$y_n + \sum_{k=1}^p g_k y_{n-k} = z(1 + \sum_{k=1}^p g_k) U_{n-b} \quad (1)$$

$$x_n + \sum_{k=1}^p g_k x_{n-k} = (1 + g_p)(U_n + U_{n-p}) + \sum_{k=1}^{p-1} g_k (U_{n-k} + U_{n-p+k}) \quad (2)$$

ここで、基盤層上の表面は  $p$  分割され ( $z = p$ )、各層における S 波通過時間は、矢通  $T/2$  とする。分割された表面層は、地表から順序で  $1, 2, \dots, p$  の順序で表す。また、 $(k+1)$  層における上昇波の反射係数を  $r_k$  とする。また、各層は均質であるとする。係数列  $g_k$  は、反射係数の二次項まで近似すれば、次式となる。

$$g_1 = r_1 + \sum_{\ell=1}^{p-1} r_\ell Y_{\ell+1}, \quad g_k = r_k + \sum_{\ell=1}^{p-k} r_\ell r_{\ell+k} \quad (2 \leq k \leq p-1), \quad g_p = r_p \quad (3)$$

(1) および (2) 式に基づいて得られるインパルス応答は以下のように  
有限長間隔としてフーリエ表示する。

$$H_y(\lambda; T_g) = z^{-b} \left[ \alpha_0 + \sum_{k=1}^p \alpha_k z^{-k} \right] \quad (4)$$

$$H_x(\lambda; T_g) = \beta_0 + \sum_{k=1}^p \beta_k z^{-k} \quad (5)$$

ただし、 $z = e^{i\lambda}$ ,  $\lambda = \omega T$ ,  $|\lambda| \leq \pi$  とする。反射係数の二次までの項を用いれば、最初の  $(p+1)$  項は以下で近似される。

$$\alpha_0 = R_0 + p \sum_{k=1}^p R(k), \quad \alpha_i = -r_i R_0 - p R(i) \quad (6)$$

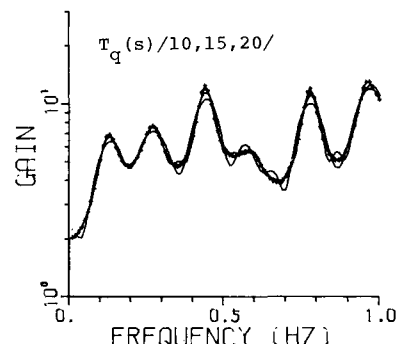
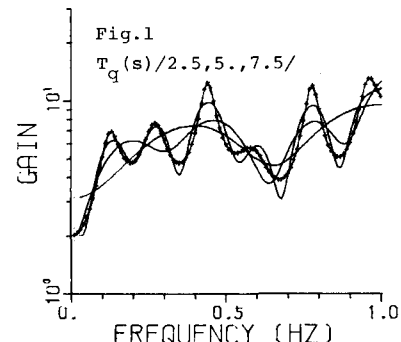
$$\alpha_n = r_{n-1}^2 - r_n R_0 - p R(n) \quad (2 \leq n \leq p-1),$$

$$\alpha_p = r_{p-1}^2 - r_p R_0$$

ただし、

$$R_0 = 1 + p E(r), \quad E(r) = \frac{1}{p} \sum_{k=1}^p r_k, \quad R(n) = \frac{1}{p} \sum_{k=1}^p r_k r_{k+n} \quad (7)$$

各層における速度構造を用いれば、 $T = 0.02s$ としたとき、 $p = 326$  となる。図 1 は  $|z^b H_y(\lambda; T_g)|$  を示す。ただし、 $T_g = 2.5, 5, 7.5, 10, 15, 20$  s である。また、図 2 は、 $|G_x(\lambda; T_g)| \sim |z^b H_y(\lambda; T_g)| / |H_x(\lambda; T_g)|$  を示す。ただし、 $T_g = 5, 10, 20$  s である。図 1 は、卓越振動の分離が  $T_g \sim pT$  程度から生じることを示し、図 2 は、振動伝達関数の推定には、 $T_g \sim 3 \cdot pT$  程度以上の解析区间が必要



であることを示してある。

### 3. 波動伝達関数の推定

2. くしたがって、推定区間をS波の初めから20秒間とした。推定方法同様、推定周波数域に対して、推定区間が短くなるため、図3のような $|G_1(\omega)|$ 推定とした。帯域通過フィルタは、二次形

$$B_k(s) = \frac{2h_k w_{ks}}{s^2 + 2h_k w_{ks} s + w_k^2} \quad (8)$$

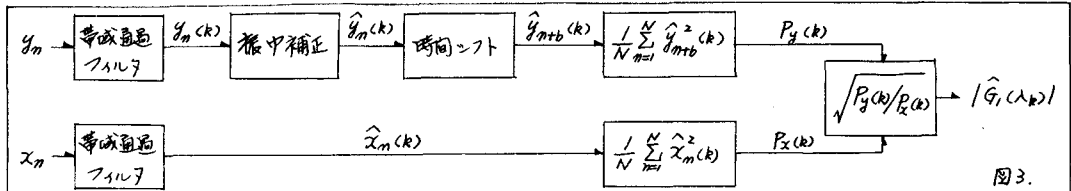


図3.

から $[B_k(j\omega) + B_k(-j\omega)]/2$ を用いて構成した。実際には、二極一ニ零点型のデジタル・フィルタを加速度列の前向きおよび後向きに作用させて加えることによりフィルタリングする。帯域通過フィルタのステップは、 $0.01\text{ Hz}$  までみK、 $0.01 \sim 1\text{ Hz}$  で等間隔とした。また、(8)式で

$$h_k = 0.01 \times 2\pi \times w_k^{-1} = 0.01 f_k^{-1} \quad (9)$$

とした。

### 4. 実測記録からの推定

図4および図5に推定結果の例を示す。図4は、深発地震（1978年3月7日、東海近海沖、深さ約400km）のEW成分を用いて推定した結果である。この程度の深発地震では、垂直入射の仮定はほぼ満たされておりと考えられる。推定結果からみると、卓越振動の分散は明瞭にみえており、名模における速度構造から計算される $|G_1(\omega)|$ との比較も良い照合を示す。ただし、図4（および図5）において、計算された $|G_1(\omega)|$ は、 $h=0.005\text{ f}^{-1}$  の減衰を入れてある。

図5は、1978年宮城県沖地震における記録のEW成分を用いて推定した結果である。名模における観測記録も含めて、首都圏において観測されたこの地震における記録では、表面波らしい分散は明瞭に認められなかつた。図5における推定結果は、図4程明瞭ではないが、実体波の波動伝達特性を示してある。

また、マグニチュード6程度以下で、首都圏に発生しうる深さ10km以上の地震の記録では、卓越振動の識別がこの周波数領域では困難であつた。

